

# Měření proudu plynu

$$I = pS$$

- měření malých proudů plynu v vakuové technice
- průtokoměry

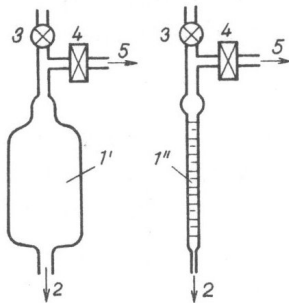
Výběr průtokoměru:

- přesnost
- reprodukovatelnost
- měřící rozsah

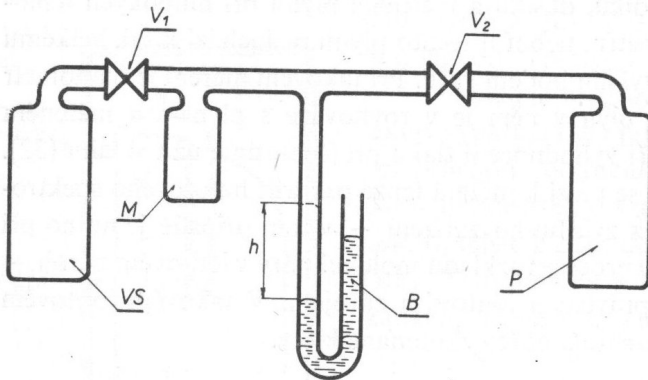
# Měření malých proudů plynu v vakuové technice

- plynová byreta
- měření pomocí kapky Hg
- měření pomocí vodivosti
- měření na základě silového působení
- dynamická expanze

# Plynová byreta



Obr. 5.94. Jednoduché zařízení na měření  
a přípravu určitého proudu plynu  
1' – zásobník; 1'' – trubice; 2 – k nádobě  
s kapalinou; 3 – kohouty; 4 – vpouštěcí  
kohouty; 5 – k vakuové aparatuře



Obr. 7-43a. Měření proudu plynu vpouštěného do vakuového systému.

$B$  — byreta

$h$  — posun výšky hladiny

$M$  — manometr

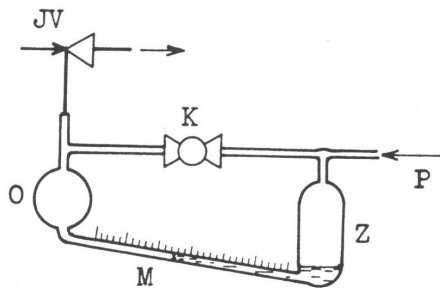
$V_1$  — vpouštěcí kohout

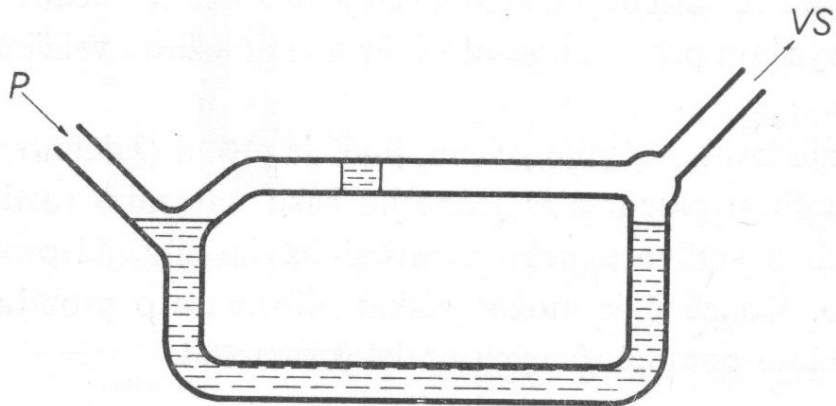
$V_2$  — kohout

$P$  — zásobní objem plynu

$VS$  — vakuový systém.

Obr. 13: Plynová mikrobyreta:  
M - měrná kapilára s děléním podle objemu; Z - zásobník kapaliny;  
O - ochranná nádobka; K - kohout (pro vyrovnání tlaků), P - přívod plynu; JV - jehlový ventil pro řízené napouštění plynu do vakua.



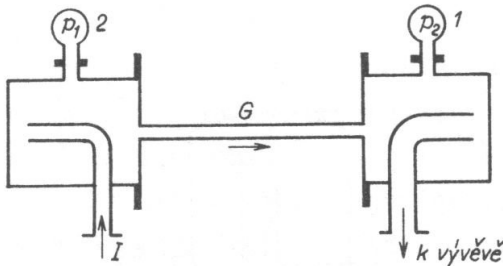


Obr. 7-43b. Měření objemu plynu cirkulující kapkou

$P$  — vpouštěný plyn

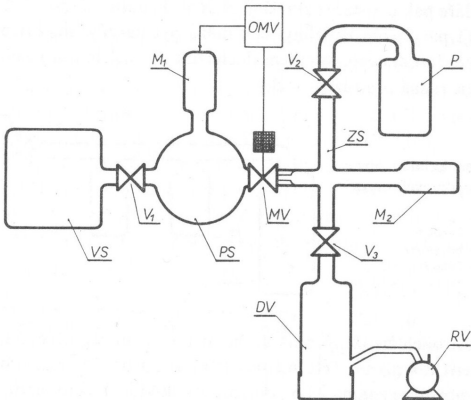
$VS$  — vakuový systém, do nějž se vpouští plyn.

# Měření pomocí vodivosti



Obr. 5.95. Vakuové zařízení pro měření proudu plynu  
1, 2 – vakuometry; G – trubice se známou vodivostí

$$I = G(p_1 - p_2)$$



Obr. 7-45. Měření proudu plynu vpouštěného do vakuového systému (metoda dle Trendelenburga a Hengevossen)

$M_1, M_2$  — manometry  
 $V_1$  — vpouštěcí ventil  
 $V_2, V_3$  — ventily  
 $MV$  — elektromagnetický ventil  
 $OMV$  — elektronický obvod ovládající  $MV$  podle údaje  $M_1$

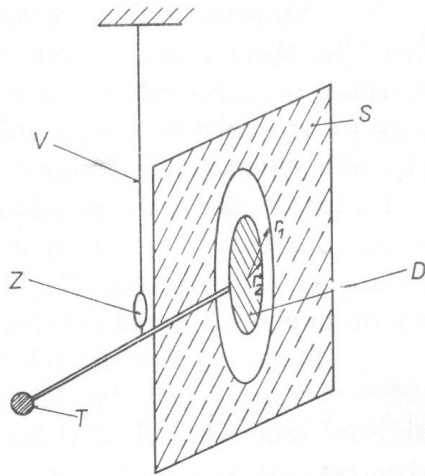
$PS$  — pomocný vakuový systém  
 $ZS$  — zásobní systém  
 $DV$  — difúzní vývěra  
 $RV$  — rotační vývěra  
 $P$  — zásobní plyn  
 $VS$  — vakuový systém, do nějž se vpouští plyn.

$$I = G(p_1 - p_2) \frac{t'}{t}$$

$t$  - celkový čas,  $t'$  - doba otevření ventilu.

Tlak v pomocném vakuovém systému:  $\sim 1 - 2 \cdot 10^{-7}$  torr.

# Měření na základě silového působení



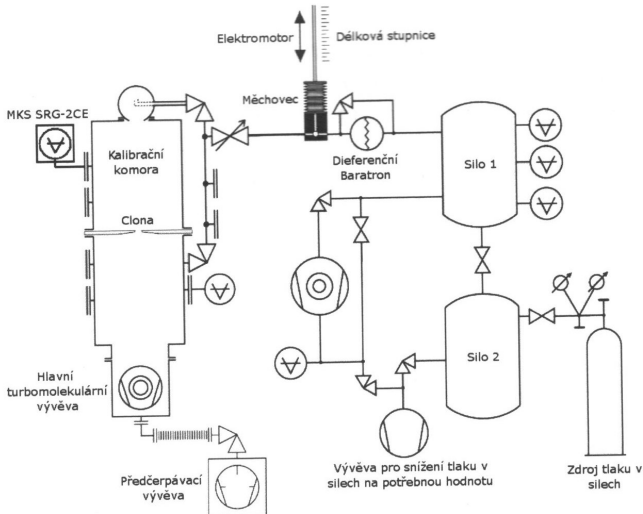
$$F = (p_1 - p_2)\pi r_2^2 = \left[ \frac{\pi}{8}nm(v_a + u)^2 - \frac{\pi}{8}nm(v_a - u)^2 \right] \pi r_2^2$$

$$F = \frac{\pi}{8}nm4v_a u \pi r_2^2 = p \frac{4u}{v_a} \pi r_2^2 = pu \sqrt{\frac{2\pi m}{kT}} \pi r_2^2$$

$$u = \frac{I}{\pi r_1^2 p}$$

$$F = \sqrt{\frac{2\pi m}{kT}} \left( \frac{r_2}{r_1} \right)^2 I$$

# Dynamická expanze





9

# Etalon na principu dynamické expanze

rozsah  $1 \cdot 10^{-1} - 10^{-6}$  Pa chyba měření 0.6% – 2%

$$p_{\text{ref}} = I \left( \frac{1}{S} + \frac{1}{G} \right)$$

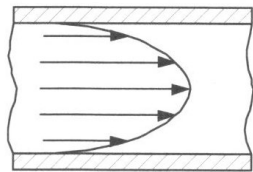
$$I = p \frac{V_1 - V_2}{t_1 - t_2}$$

# Průtokoměry

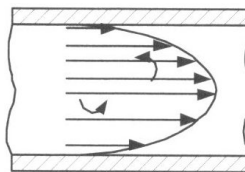
- plováčkové průtokoměry
- turbínové průtokoměry
- ultrazvukové průtokoměry
- průtokoměry založené na Coriolisově síle
- průtokoměry založené na tlakové diferenci
- průtokoměry tepelné

$$Re = \frac{\rho u D}{\eta}$$

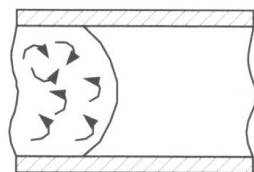
$Re < 2000$



$2000 < Re < 4000$

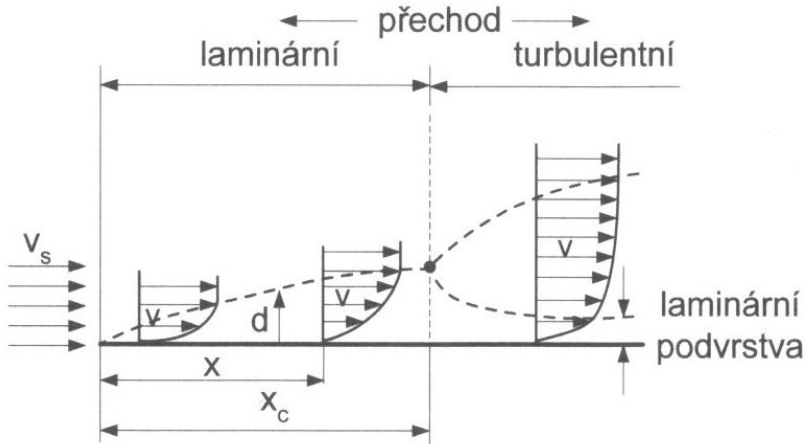


$4000 < Re$



laminární proudění

turbulentní proudění



11

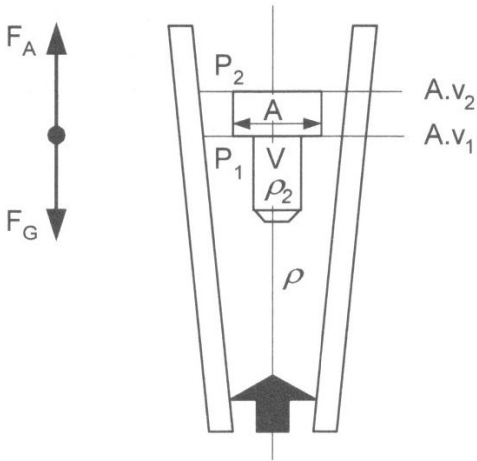


Princip průtokoměru	Tekutina (K, P, Pa)	Přesnost (typická hodnota)
Clona	K, P, Pa	0,6–2 % z rozsahu
Venturiho trubice	K, P	0,6–2 % z rozsahu
Rotametr	K, P	2 % z rozsahu
Terčík	K, P	< 0,1–1 % z údaje
Turbina	K, P, Pa	0,1–2 % z údaje
Vírový	K, P, Pa	0,5–1 % z údaje
Elektromagnetický	K	0,2–1 % z údaje
Ultradzvukový (Doppler)	K, P	1 % z údaje – 2 % z rozsahu
Ultradzvukový (klasický)	K, P, Pa	0,5 % z údaje – 2 % z rozsahu
Coriolisův	K, P, Pa	0,1–0,5 % z rozsahu
Tepelný	K, P, Pa	0,5 % z údaje – 2 % z rozsahu
Vážicí systémy	K, pevné látky	0,1 % z údaje
LDA	K, P, Pa	1 % z údaje
Značkovací	K, P, Pa	1–2 % z údaje
Přepady (otevřené kanály)	K	3–5 % z údaje
Žlaby (otevřené kanály)	K	3–5 % z údaje



Princip průtokoměru	Opakovatelnost	Rozsah	Min. hodnota Reynoldsova čísla
Clona	0,5 % z údaje	3–10:1	3000
Venturiho trubice	0,5 % z údaje	4–10:1	10000
Rotametr	1 % z údaje	10:1	–
Terčík	0,02 % z údaje	50:1	>100
Turbina	0,02 % z údaje	25:1	5000
Vírový	0,2 % z údaje	15:1	5000
Elektromagnetický	0,1 % z údaje	>100:1	2000
Ultrazvukový (Doppler)	0,5 % z údaje	>20:1	5000
Ultrazvukový (klasický)	0,25 % z údaje	>20:1	10000
Coriolisův	0,02 % z údaje	>100:1	1000
Tepevný	0,5 % z údaje	>100:1	5000
Vážící systémy	0,01 % z údaje	50:1	>100
LDA	0,02 % z údaje	2000:1	>100
Značkovací	1 % z údaje	1000:1	5000
Přepady (otevřené kanály)	1–2 % z údaje	400:1	–
Žlaby (otevřené kanály)	1–2 % z údaje	120:1	–
Korelace	0,5 % z údaje	100:1	5000

# Plováčkové průtokoměry

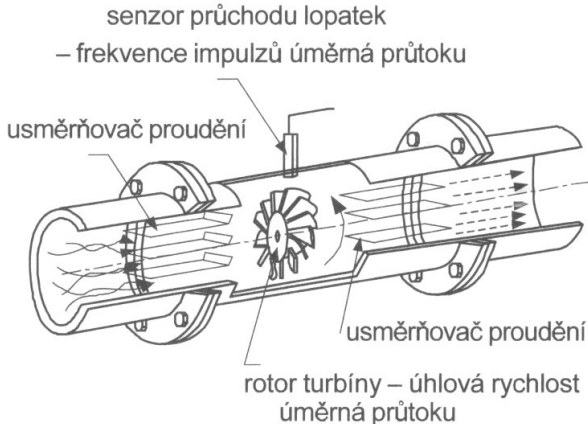


$$A \left( \frac{\varrho v_1^2}{2} + p_1 \right) + Vg\varrho = Ap_2 + Vg\varrho_2$$

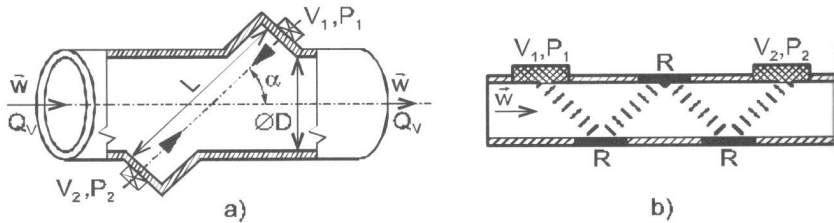
$$q_V = C_d A_2 \sqrt{\frac{2gV}{A} \left( \frac{\varrho_2}{\varrho} - 1 \right)} = f(A_2)$$

$A_2$  - plocha mezi plovákem a trubicí,  $\varrho_2$  - hustota plováku,  $C_d$  - koeficient ztrát - pro turbulentní proudění přibližně konstantní

# Turbínové průtokoměry



# Ultrazvukové průtokoměry



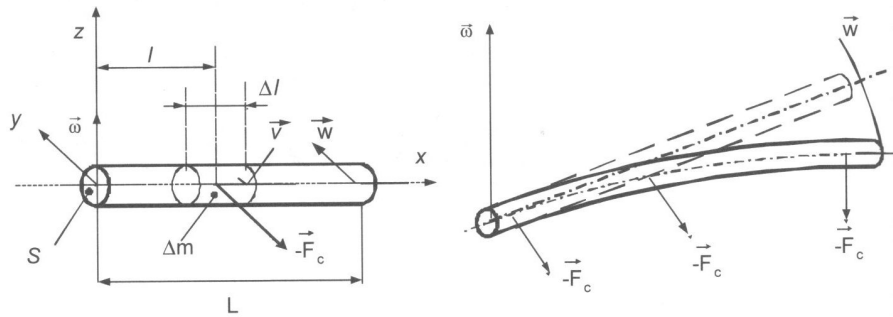
Obr. 10.1 Ultrazvukové senzory průtoku: a) princip,  $V_1, V_2$  je označení pro vysílaci a  $P_1, P_2$  přijímací funkci měniče, b) prodloužení dráhy šíření ultrazvukového vlnění reflektory  $R$

Změna rychlosti nebo frekvence ultrazvukového vlnění průchodem kapalinou.

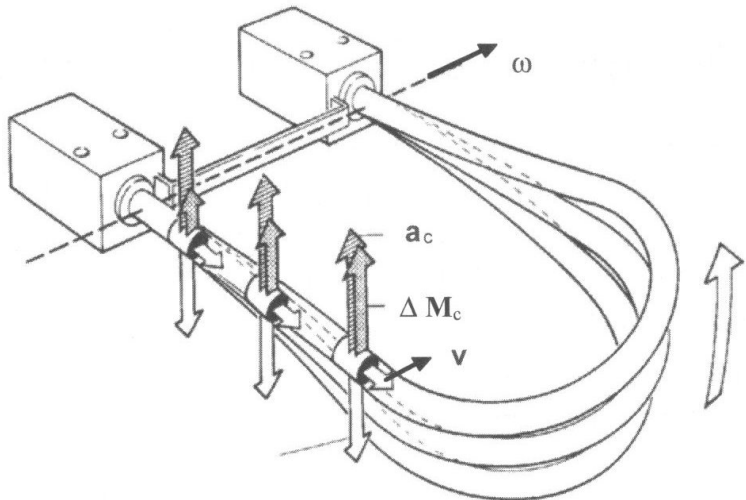
frekvence 500 kHz - 1 MHz

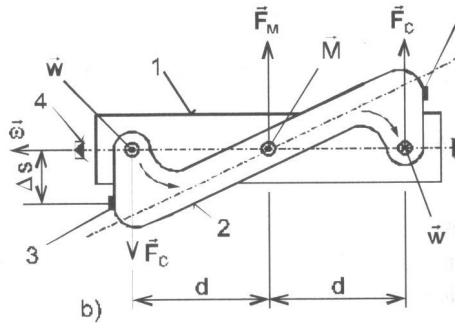
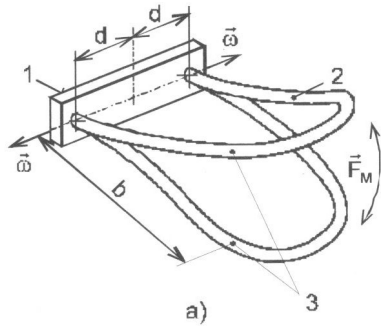
spíše se používají pro měření kapalin, i kryokapalin (tekutý argon, dusík, helium)

# Průtokoměry založené na Coriolisově síle



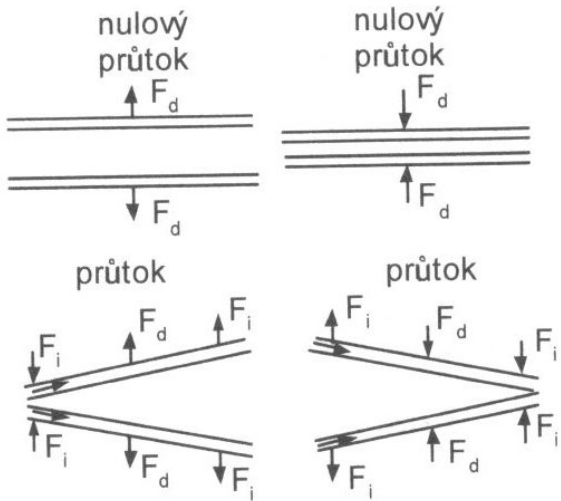
17

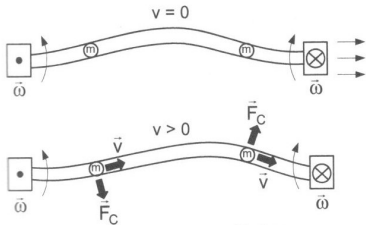




amplituda kmitů 0.8 mm, rezonanční kmitočet 100-250 Hz

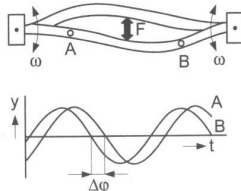
19





$$\vec{F}_C = -2m\vec{v}\cdot\vec{\omega}$$

$m$  = částice  
 $\omega$  = úhlová rychlosť  
 $v$  = radiálna rychlosť  
 $F_C$  = Coriolisova síla

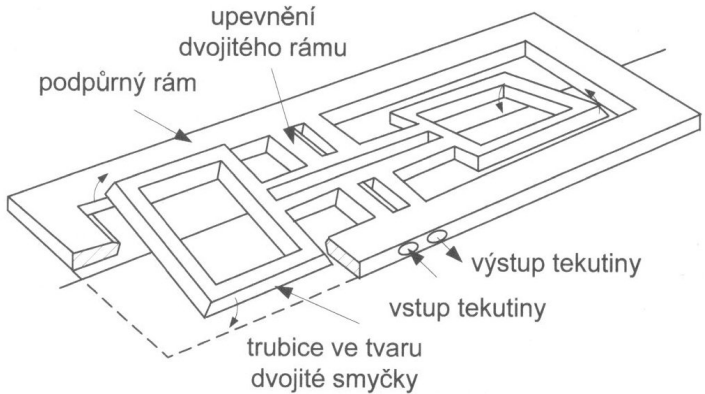


$\omega$  = úhlová rychlosť  
 $F_C$  = Coriolisova síla  
 $\Delta\phi$  = fázový posuv  
A, B = senzory  
t = čas  
 $\Delta\phi = F_C \cdot \dot{m}$



amplituda kmitů  $0.1 \mu m$ , rezonanční kmitočet 500-700 Hz

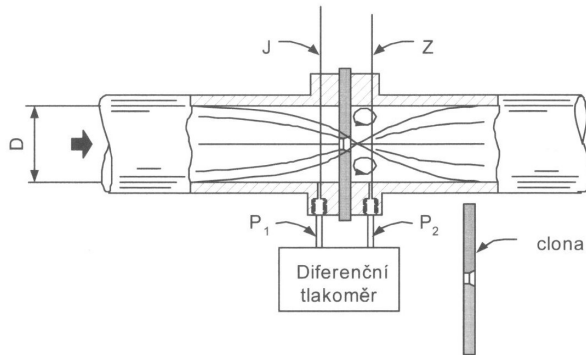
21



Obr. 12.14 Mikromechanicky zhotovený Coriolisův průtokoměr

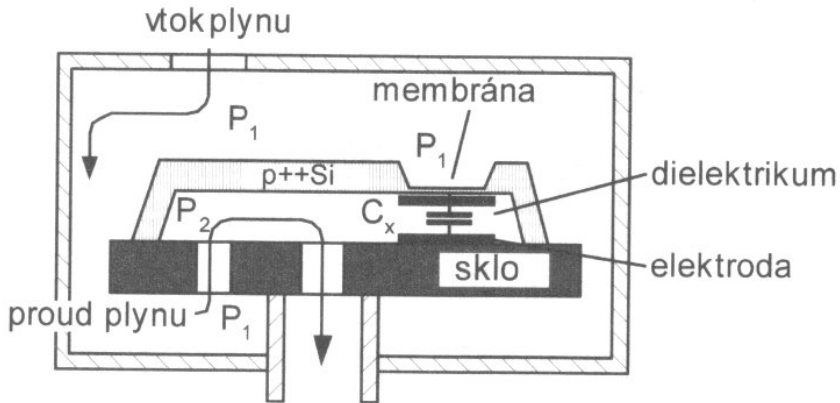
max. průtok  $5 \text{ ml.h}^{-1}$ , frekvence kmitů 8 kHz, vstupní otvor 0.5 mm  
22

# Průtokoměry založené na tlakové diferenci

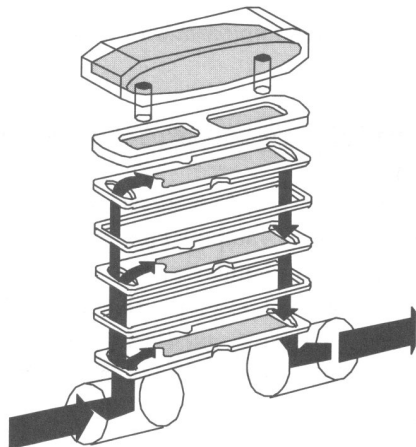


$$q_V = f(\sqrt{\Delta p})$$

23



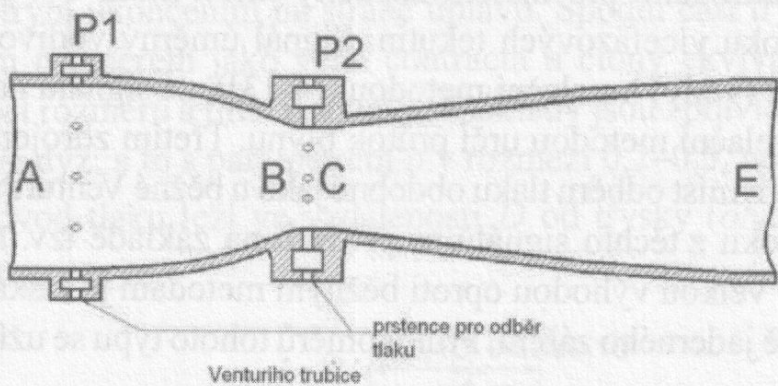
24



laminární proudění,  $q_V = f(p)$

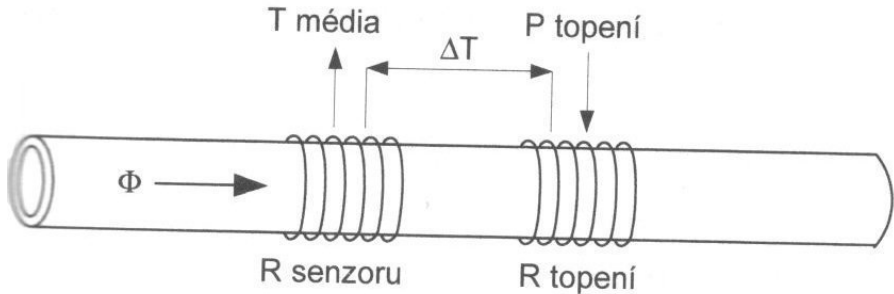
25

# Venturiho trubice



Klasická Venturiho trubice ([4-12])

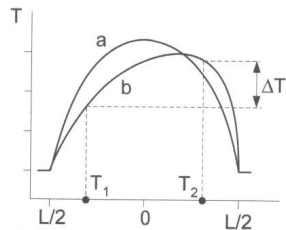
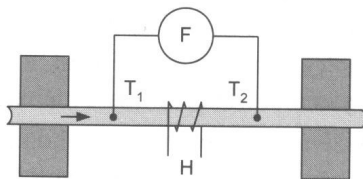
# Termoanemometr

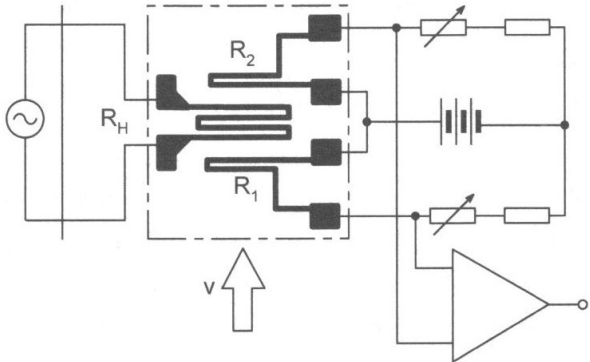


konstantní rozdíl teplot<sup>27</sup>

<sup>27</sup>S.Ďaďo, L.Bejček, A. Platil: Měření průtoku a výšky hladiny, Ben, Praha 2005

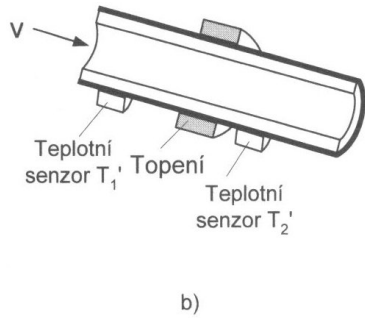
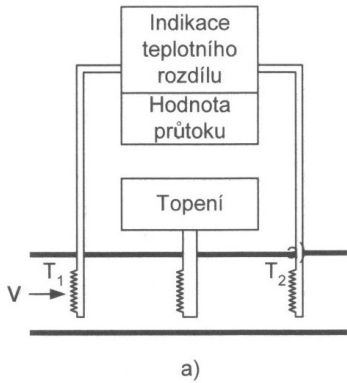
# Kalorimetrický hmotnostní průtokoměr

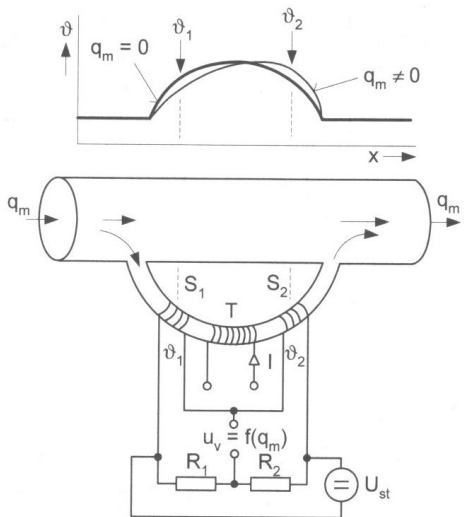


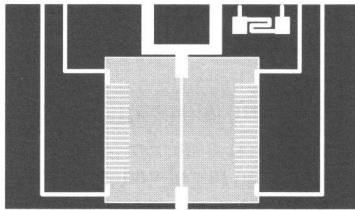


Diferenční termoanemometr







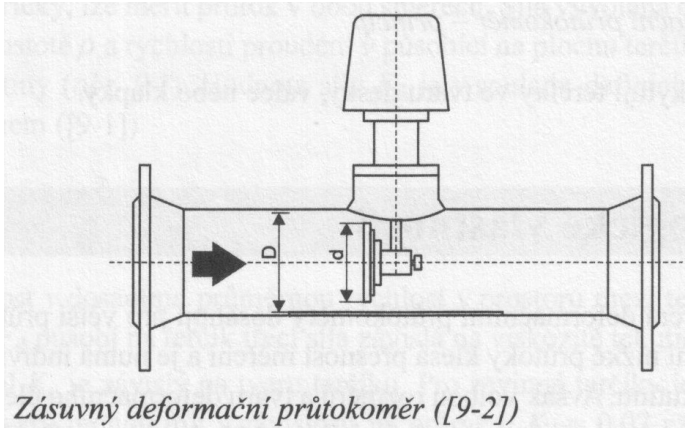


Snímač průtoku na Si čipu  $2 \times 6\text{ mm}$  [15-12]

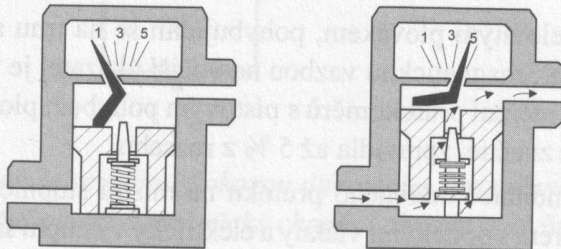
32

průtok  $2 - 500\text{ ml.h}^{-1}$ , přesnost měření 2%,  
příkon vyhřívání 5-50 mW, reakční doba < 2 ms

# Deformační průtokoměry

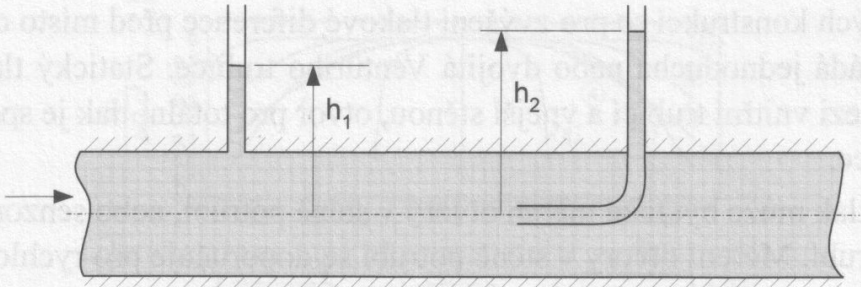


Zásuvný deformační průtokoměr ([9-2])



Pružinový průtokoměr s direktivní pružinou a mechanickým převodem polohy na ukazatel ([6-5])

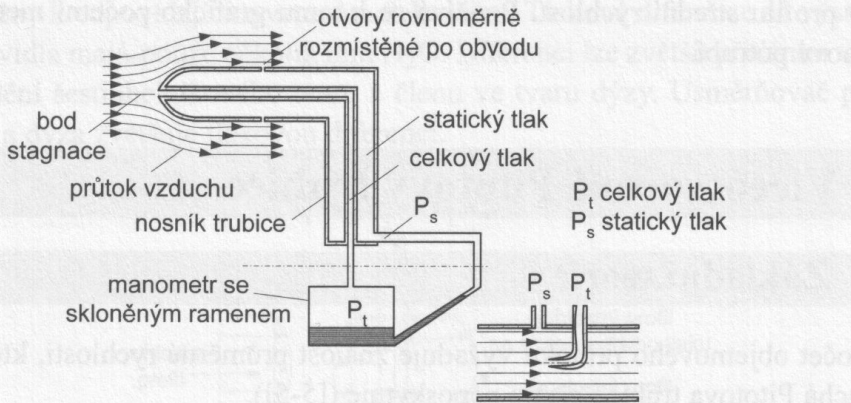
# Pitotova trubice



*Princip Pitotovy trubice*

35

# Prandtlova trubice



Prandtlova trubice tvaru L připojená k diferenčnímu manometru měřicímu rozdíl celkového tlaku  $p_t$  a statického tlaku  $p_s$  ([5-6])